

مقاله پژوهشی

زمین‌شیمی عناصر کمیاب در میزبان گالن‌های موجود در ذخایر فلوریت البرز مرکزی، استان مازندران

مهتاب حمزه، بهنام شفیعی بافتی* و **هادی عمرانی**

گروه زمین‌شناسی، دانشکده علوم، دانشگاه گلستان، گرگان، ایران

دربافت مقاله: ۱۳۹۷/۰۹/۱۹، پذیرش: ۱۳۹۸/۰۲/۲۲

چکیده

در سلسه جبال البرز در استان مازندران، رخدادهای متعددی از کانسارهای فلوریت با سنگ میزبان کربناته حضور دارند که دارای مقادیر فراوانی از گالن و مقادیر ناچیزی از اسفالریت هستند. دستیابی به توانایی معدنی کانسارهای فلوریت از کانی‌سازی عناصر کمیاب و کاربردهای ژئوپالئونیک این پژوهش است. بدین‌منظور، تعداد ۲۶ نمونه خالص گالن از نسل‌های مختلف زایشی (رگه-رگجهای و افشار دانه درشت تا دانه‌ریز) در کانسارهای فلوریت کمرپشت، پاچی-میانا و اراء پس از آماده‌سازی، توسط فناوری ICP-MS برای عناصر Sb، As، Se، Ga، Tl، Cd، Bi، Hg، Ag، As، Sb (حداکثر تا ۲۵۸۱ ppm با میانگین حدود ۶۲۰ ppm) و Ag (حداکثر تا ۷۰ ppm با میانگین ۳۰ ppm) غنی و از دیگر عناصر فقیر هستند و گوناگونی غلظت عناصر کمیاب در گالن‌های افشار و رگه-رگجهای روند معناداری نشان نمی‌دهد. روابط بین عنصری در گالن همبستگی قوی ($r = 0.65$) بین Sb-Ag و همبستگی متوسط ($r = 0.40$) بین Ag-Cu، Ag-As و Hg-Zn را نشان داد. غلظت بالای Sb و Ag در گالن می‌تواند مرتبط با حضور کانی‌های خاص از این عناصر (مانند تترایدیریت، استفانیت، دیافوریت و تووینیت) به صورت ادخال در گالن میزبان باشد؛ در حالی که بروز غلظت‌های نه چندان زیاد از عناصر Cd و Hg و ارتباط معنادار آنها با غلظت Zn در گالن میزبان باشد؛ در حالی که بروز غلظت‌های اسفالریت و پولهموزیت و همچنین جایگزینی ساده همبار الکتریکی بین Cd^{2+} و Pb^{2+} ($r = 0.20$) می‌تواند مربوط به حضور ادخال‌های اسفالریت باشد. با توجه به حضور فراوان گالن (دها هزار تن) در معادن فلوریت مورد بررسی و غلظت نسبتاً بالای Sb و Ag در گالن بوده باشد. ساختمان آنها، ارزیابی اقتصادی بازیابی این عناصر از گالن در مقیاس آزمایشگاهی پیشنهاد می‌شود. ارزیابی غلظت عناصر کمیاب در گالن نشان داد که کانسارهای مورد بررسی شباهت بیشتری به کانسارهای نوع دره می‌سی‌پی غنی از فلوریت نسبت به دیگر کانسارهای فلوریت با سنگ میزبان کربناته نشان می‌دهند.

واژه‌های کلیدی: عناصر کمیاب، گالن، فلوریت، مازندران**مقدمه**

به صورت خالص بوده و اغلب میزبان عناصر کمیاب Ag، Sb،

گالن با ساختار بلوری ساده (کوییک) به ندرت در طیعت

اشغال، بایجان و سرچشک (Alirezaee, 1989; Gorjizad 1996; Vahabzadeh et al., 2009; Vahabzadeh et al., 2014) در حال حاضر متوجه است. با وجود پژوهش‌های ارزشمند گذشته در این کانسارها، ارزش حضور عناصر کمیاب در این کانسارها که دارای سولفیدها، سولفات‌ها و کربنات‌ها هستند، هنوز مشخص نشده است. از آنجا که ایران نیز همانند بیشتر کشورهای دنیا ذخایر مالحظه‌ای از عناصر کمیاب ندارد؛ لذا ارزیابی توانایی معدنی این عناصر در کانسارهای متعدد سرب-روی (فلوئور-باریم) با سنگ میزان کربناته ضرورت دارد که برای انجام این موضوع، غلظت عناصر کمیاب در گالن به عنوان فراوان‌ترین کانی سولفیدی موجود در سه کانسار مهم و در حال بهره‌برداری پاچی-میانا، کمرپشت و اراء از کانسارهای فلوئوریت-گالن-باریت-سلستین ± اسفالریت البرز مرکزی مورد بررسی قرار گیرد. گالن در این کانسارها در بیشتر موارد به صورت رگه‌ای (شکل ۲-A و B)، رگچه‌ای (شکل ۲-C)، دانه پراکنده (شکل ۲-D و F) و پرکنده (شکل ۲-E) ظاهر شده است که به طور عمده با فضای خالی (شکل ۲-D) مشاهده می‌شود.

Nabiloo et al., 2017; Zabihitabar and Shafiei, 2014 در بررسی‌های میکروسکوپی، حضور گالن به صورت مجزا و یا با همراهی اسفالریت و پیریت در زمینه‌ای از فلوئوریت (شکل ۳-A، B و C) و جانشین‌شدن گالن از حاشیه و همچنین در امتداد رخ‌ها توسط سروزیت، بروونزاد در زمینه‌ای از باریت (شکل ۳-D) مشاهده می‌شود.

زمین‌شناسی کانسارهای مورد بررسی

کانسار پاچی-میانا: قدیمی‌ترین واحد سنگی در معدن پاچی-میانا، بخش‌های بالایی سازند الیکا با ضخامت زیاد است (تریاس میانی) که ترکیبی از لایه‌های ضخیم آهک توده‌ای سفیدرنگ، آهک خاکستری مایل به آبی و واحد آهک دولومیتی شامل ندول‌های چرتی و لایه‌های آلی تیره است (شکل ۴). این واحد تنها سنگ میزان برای کانی‌سازی در معدن پاچی-میانا معرفی شده است (Gorjizad, 1996).

واحدهای کربناته کانه دار توسط دولومیت‌های سفید-خاکستری و یا آهک‌های

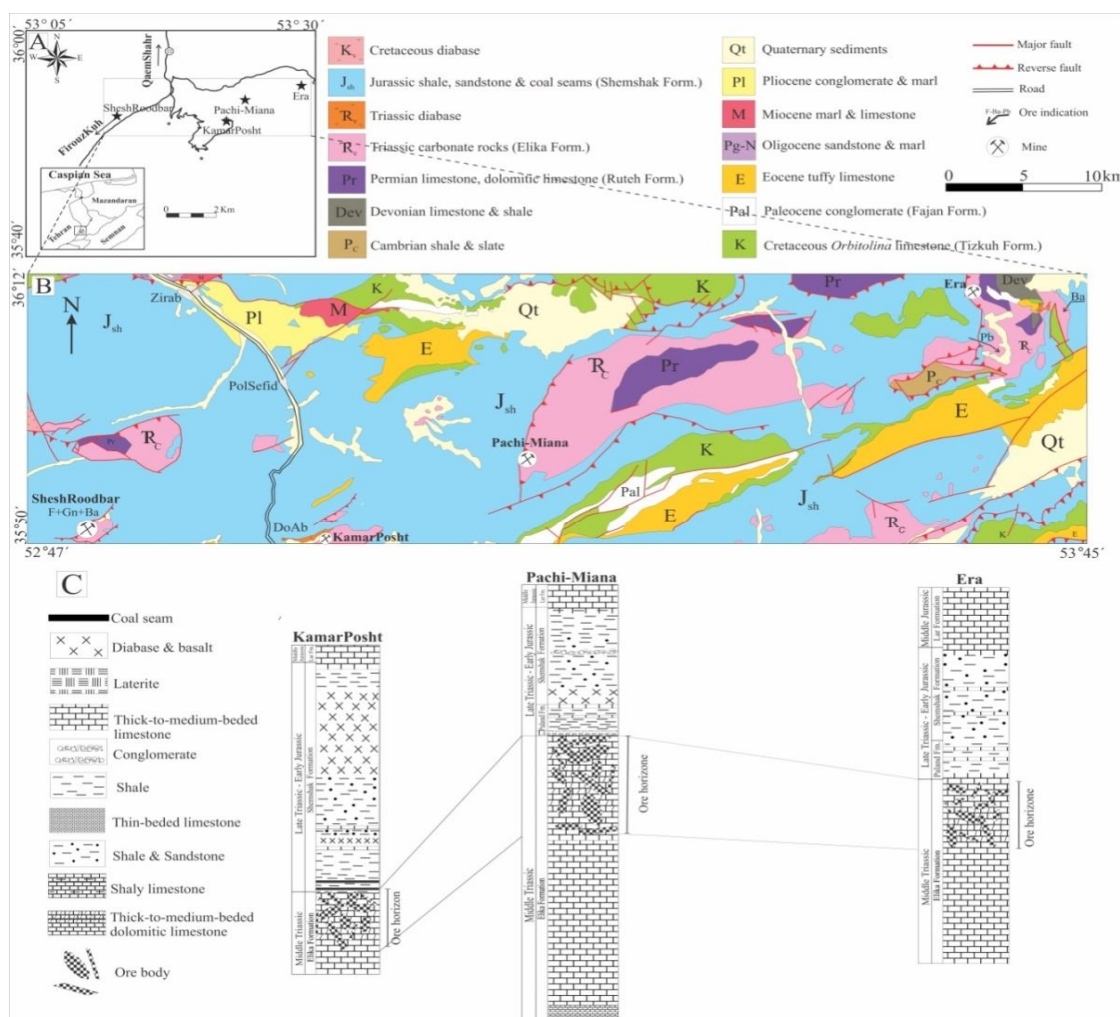
(Ahrens, 1953; Qian, 1987; George et al., 2015) توجه غلظت کمتر از ۱۰۰ گرم در تن این عناصر در پوسته زمین (Levinson 1980)، ذخایر معدنی قابل ملاحظه‌ای از این عناصر در پوسته زمین تشکیل نشده است و این عناصر به طور عمده به صورت فرعی در ساختار کانه‌های سولفیدی تمرکز یافته‌اند (Hall and Heyl, 1968; Qian, 1987; Hagni, 1996; Song and Tan, 1996; Ye et al., 2011; George et al., 2015). از آنجا که این عناصر دارای ویژگی‌های فیزیکی و شیمیایی انحصاری هستند و کاربردهای خاصی در صنایع مختلف دارند، استحصال آنها به صورت محصول جانبی از فراوری و ذوب کانه‌های سولفیدی میزان مقرن به صرفه و ارزشمند است (George et al., 2015).

شمالی البرز مرکزی و در شرق استان مازندران (شکل A-1) (مناطق کیاسر، سوادکوه و خطیرکوه)، تعدادی کانسار فلوئوریت (پاچی-میانا، شش‌رودبار، کمرپشت و اراء) در نوار باریکی به درازای ۸۰ کیلومتر و پهنای ۳۰ کیلومتر (شکل B-1) در بخش‌های بالای ستون چینه‌شناسی سازند کربناته الیکا (تریاس میانی) و در زیر واحدهای تخریبی-آلی گروه شمشک (تریاس بالایی-ژوراسیک پایینی) حضور دارند (شکل C-1) و دارای کانی‌شناسی ساده فلوئوریت همراه با مقادیر قابل ملاحظه‌ای گالن، باریت، سلسنتین و مقادیر فرعی پیریت، کالکوپیریت، اسفالریت و اسمیت‌زونیت هستند (Alirezaee, 1989; Gorjizad, 1996; Shariatmadar, 1999; Rajabi et al., 2013; VahabZadeh et al., 2009; VahabZadeh et al., 2014; Zabihitabar and Shafiei, 2014; Sefidian, 2014; Mehraban et al., 2016; Nabiloo et al., 2017).

میدان معدنی فلوئوریت استان مازندران از سال ۱۳۶۹ تولید ماده معدنی را شروع کرده است و ذخایر فلوئوریت در آنها حدود 6×10^5 تن تخمین‌زده شده است. با توجه به ذخیره کم و هزینه‌های بالا برای معدن کاری در ارتفاعات، معدن کاری این کانسارها نیمه‌اقتصادی است. برخی از این ذخایر مانند معادن پاچی-میانا (Gorjizad, 1996)، شش‌رودبار (Rastad and Gorjizad, 1996)، اراء (عالی‌کلا) و کمرپشت به عنوان معادن فعل در حال بهره‌برداری هستند و کانسارهای در اسله،

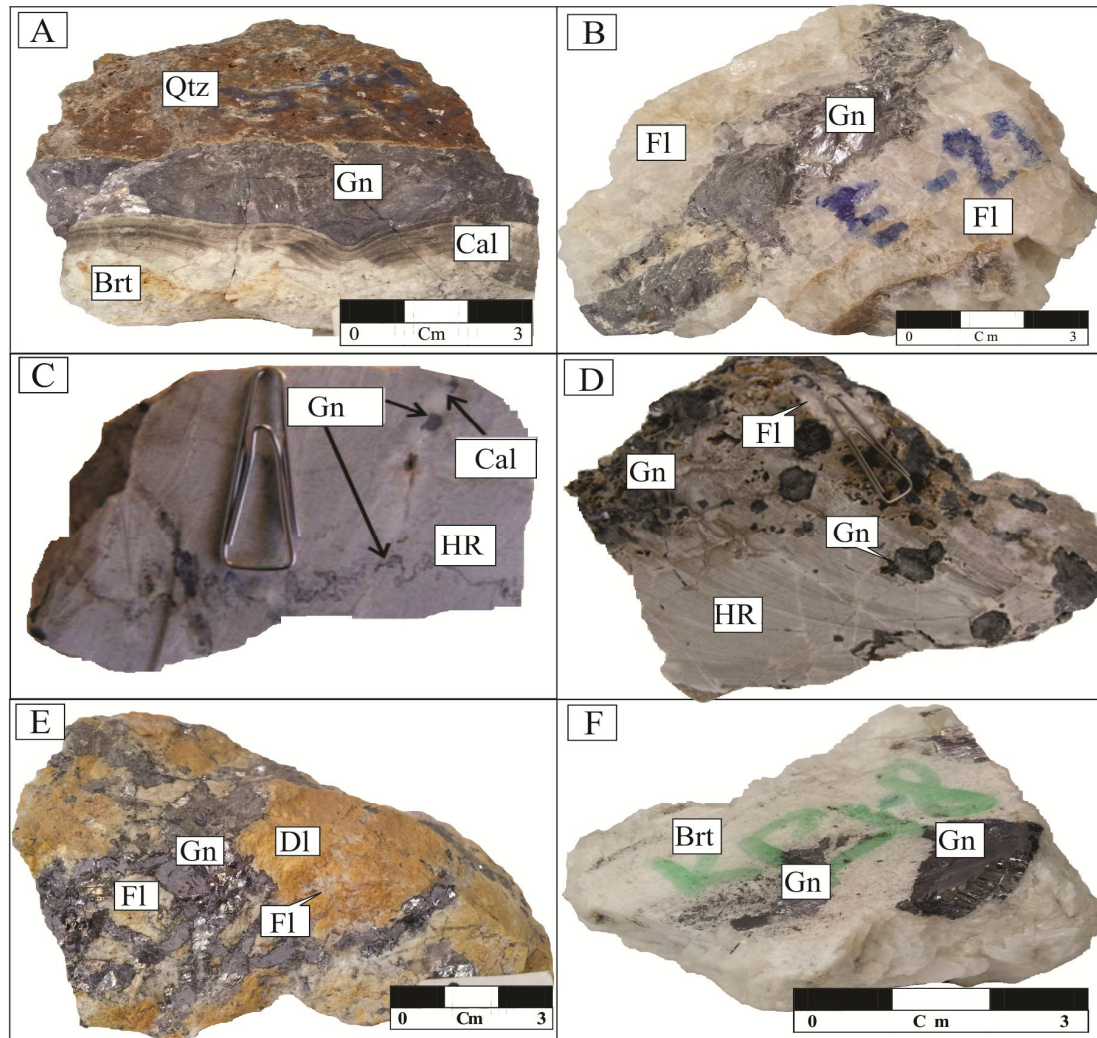
شده‌اند که بالاترین واحد در توالی چینه‌شناسی معدن پاچی‌میانا هستند. جریان‌های گدازه بازالتی و توده‌های کوچک دیابازی در معدن پاچی‌میانا در بالاترین بخش سازند الیکا و در مرز با واحدهای سازند شمشک با سن تریاس بالای ژوراسیک زیرین واقع شده‌اند. بنابراین آنها دور از واحدهای کانه‌دار تریاس میانی قرار گرفته و جوانتر از واحدهای یادشده هستند.

سیلیسی با تناوب لایه‌های شیل-توف سیز-سیلیکا و در بالای آن جریان واحد لاتریتی (احتمالاً گدازه‌های بازالتی/دیابازی به شدت هوازده) پوشیده شده‌اند. این واحدهای کربناته و طبقات پوشاننده آنها با دگرگشی فرسایشی توسط لایه‌های سیلیسی آواری سازند شمشک شامل تناوبی از لایه‌های نازک آهک‌شیل-زغال‌سنگ-ماسه‌سنگ با کنگلومرا در قاعده پوشیده



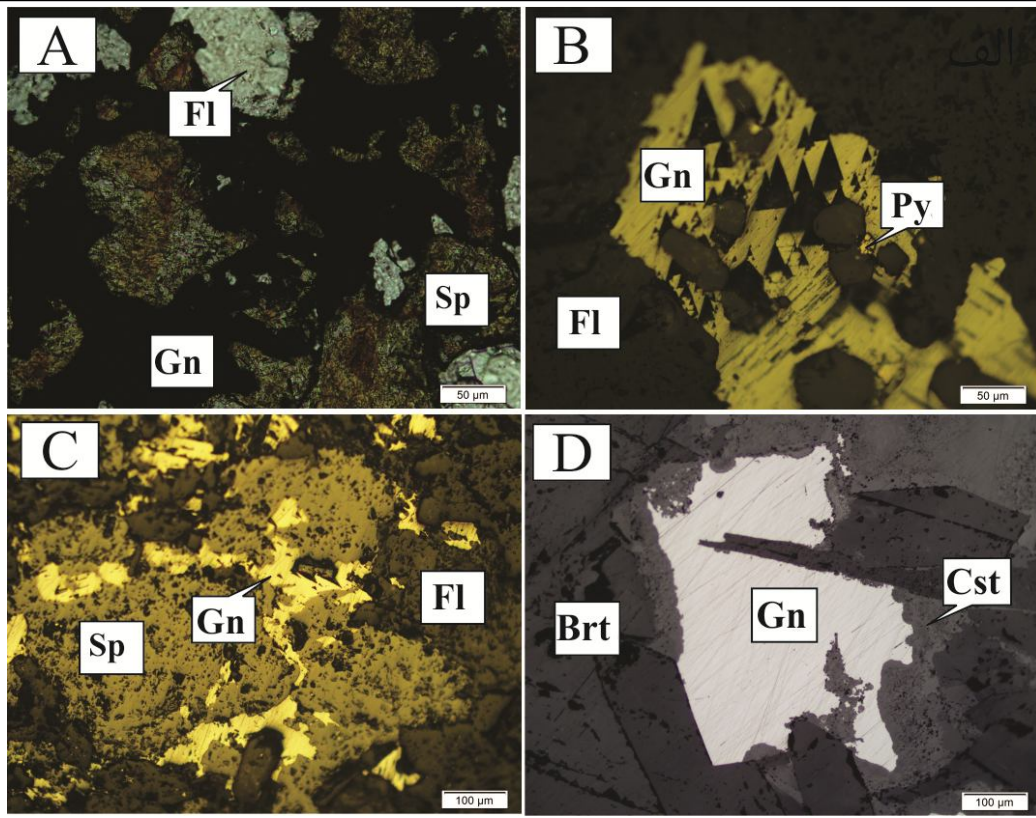
شکل ۱. A: نقشه ساده‌شده راه دسترسی به ناحیه معدنی فلوریت البرز مرکزی در شرق استان مازندران، B: موقعیت کانسارهای فلوریت میزبان شده در سازند الیکا (تریاس میانی) در مناطق سوادکوه-خطیرکوه-کیاسر در نقشه زمین‌شناسی ساده‌شده ساری با مقیاس ۱:۲۵۰۰۰ (Vahdati et al., 2014; Zabihitabar et al., 2015; Nabiloo et al., 2017) و C: ستون‌های چینه‌شناسی کانسارهای فلوریت در مطالعه حاضر (Daneshmand and Saeidi, 1991; Nabiloo et al., 2017)

Fig. 1. A: Simplified road map of fluorite ore field of the central Alborz in the east of Mazandaran Province, B: Location of the fluorite deposits hosted in the Elika Formation (Mid Triassic) in the areas of Savadkouh-Khatirkouh-Keyasar indicated in simplified geological map of Sari, 1:250,000 scale (Vahdati Daneshmand and Saeidi 1991, Nabiloo et al. 2017), and C: Stratigraphic columns of fluorite deposits in present study (Sefidian, 2014; Zabihitabar et al., 2015; Nabiloo et al., 2017)



شکل ۲. ساخت و بافت‌های رایج کانی‌سازی گالن در کانسارهای پاچی-میانا، اراء و کمرپشت، A: رگه ضخیم و متراکم از گالن همراه با باریت و کلسیت در سنگ میزبان سیلیسی شده در کانسار کمرپشت (کد نمونه: Kp-Mt-5)، B: گالن دانه‌درشت که به صورت رگچه‌های ضخیم، فلوریت ریز در کانسار اراء قطع کرده است (کد نمونه: E-21)، C: بلور مکعبی گالن به عنوان گالن نسل دوم که در رگه کلسیتی قرار گرفته است، به همراه ریز رگچه استیلولایتی دارای کانی‌سازی گالن در کانسار پاچی-میانا، D: گالن دانه‌متوسط افسان در متن سنگ میزبان آهکی در کانسار پاچی-میانا، E: کانسگ برشی در کانسار کمرپشت واجد قطعات سنگ آهک دولومیتی میزبان که توسط گالن و فلوریت سیمان شده است (کد نمونه: KP-9) و F: گالن توده‌ای افسان داخل باریت در کانسار کمرپشت (کد نمونه: KP-8-1). علایم اختصاری از سایوولا و اشمید (Siivola and Schmid, 2007) اقتباس شده است (Gn: گالن، Brt: باریت، Cal: کلسیت، Qtz: کوارتز، Fl: فلوریت، HR: سنگ میزبان، Dl: دولومیت).

Fig. 2. The common fabrics and textures of galena mineralization in Pachi-Miana, Era and KamarPosht deposits, A: Thick and dense vein of galena along with barite and calcite in a silicified host rock in the KamarPosht deposit (sample code: Kp-Mt-5), B: Coarse-grained galena in the form of thick veins that cut fluorite in the Era deposit; (sample code: E-21), C: Cubic crystal of galena as the second generation of galena within the calcite associated with the stillolite texture of galena mineralization in the Pachi-Miana deposit, D: Medium-sized galena as disseminated grains within limestone host rock in the Pachi-Miana deposit, E: Breccia ore in the KamarPosht deposit containing dolomitic limestone fragments of host rock that cemented by galena and fluorite (sample code: KP-9), and F: Massive galena as disseminated grains within barite in the KamarPosht deposit (Sample code: KP-8-1). Abbreviations after Siivola and Schmid (2007) (Gn: Galena, Brt: Barite, Cal: Calcite, Qtz: Quartz, Fl: Fluorite, HR: Host rock, Dl: Dolomite).



شکل ۳. تصاویر میکروسکوپی از نحوه رخداد کانی‌شناسی گالن در کانسارهای پاچی-میانا، اراء و کمرپشت، A: هم‌رشدی گالن و اسفالریت در زمینه‌ای از فلوئوریت، B: همراهی گالن و پیریت در زمینه فلوئوریت، C: گالن به صورت پرکننده فضای خالی که اسفالریت را در زمینه‌ای از فلوئوریت احاطه کرده است و D: حضور گالن که از حاسیه به سروزیت تبدیل شده است، در زمینه‌ای از باریت. علایم اختصاری از ساییولا و اشمید اقتباس شده است (Gn: گالن، Sp: اسفالریت، Brt: باریت، Py: پیریت، Fl: فلوئوریت، Cst: سروزیت). (Siivola and Schmid, 2007)

Fig. 3. Photomicrographs from mineralogical mode occurrence of galena in Pachi-Miana, Era and KamarPosht deposits, A: Intergrowth of galena and sphalerite within fluorite, B: Galena and pyrite accompanying in the fluorite groundmass, C: Galena as an open space filling that surrounds the sphalerite in a fluorite groundmass, and D: Galena replaced by cerussite in a barite groundmass. Abbreviations after Siivola and Schmid (2007) (Gn: Galena, Sp: Sphalerite, Brt: Barite, Py: Pyrite, Fl: Fluorite, Cst: Cerussite).

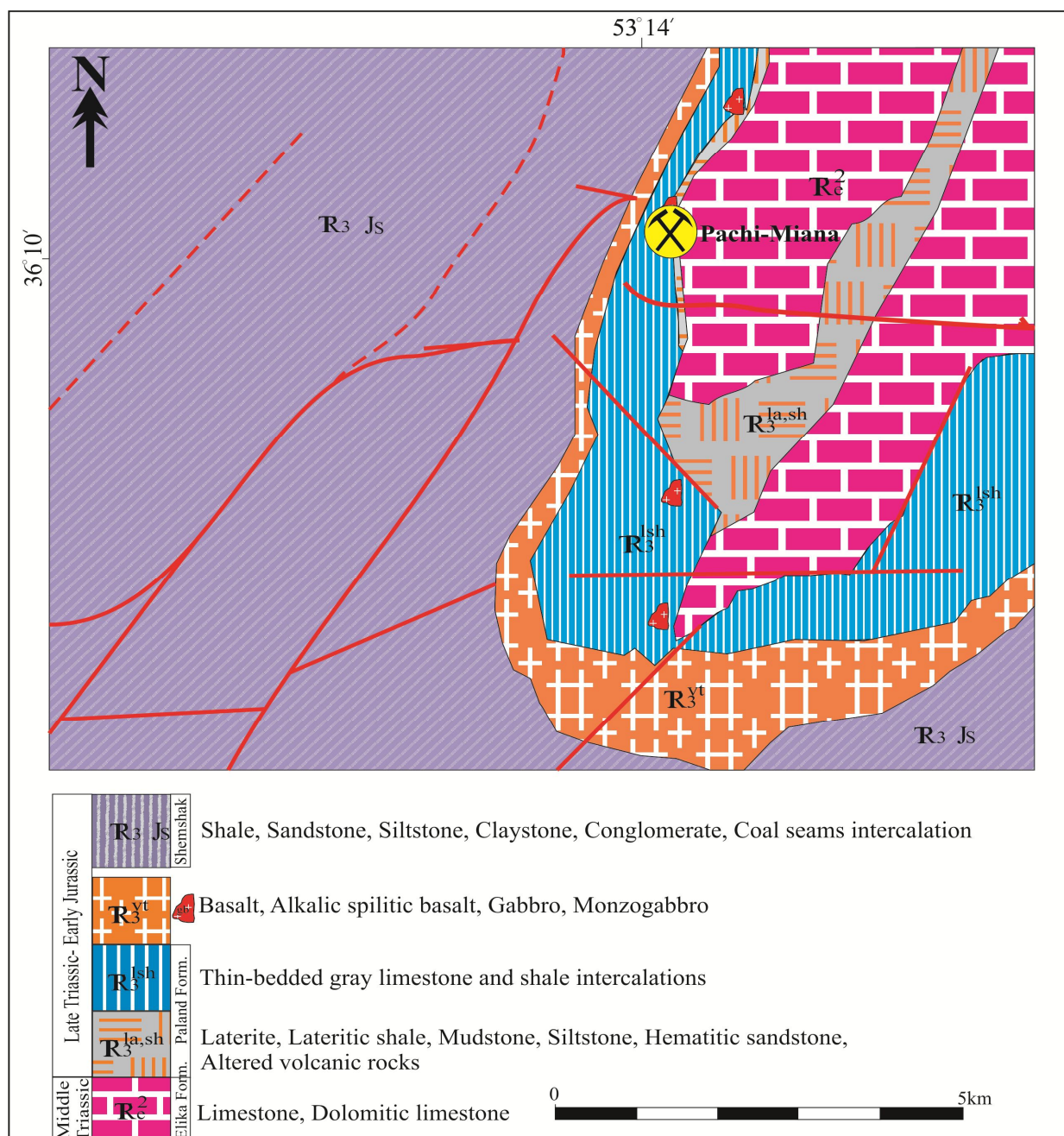
زغالدار (حدود ۳۰۰۰ متر ضخامت) از تفاوت‌های شاخص چینه‌شناسی ناحیه کمرپشت با نواحی دیگر در ناحیه معدن کاری فلوئوریت مازندران است (شکل ۵). علاوه بر معدن کمرپشت، تعدادی معدن متروکه در این منطقه وجود دارد (دوآب شرقی، خارچ و سورکچال) که در سنگ‌های کربناته متعلق به بخش‌های بالایی سازند الیکا میزبان شده‌اند.

کانسار اراء: سنگ‌های کربناته سازند الیکا قدیمی‌ترین واحدهای سنگ‌شناسی در ناحیه معدن اراء هستند که مرز فرسایشی هم شیب با لایه نازک شیل-دولومیت-ماسه‌سنگ

کانسار کمرپشت: قدیمی‌ترین واحدهای سنگ‌شناسی در منطقه کمرپشت شامل لایه‌های ضخیم سنگ آهک و آهک دولومیتی تریاس میانی سازند الیکا هستند که مستقیماً در تماس با واحدهای شیلی و شیل زغالی سازند شمشک با سن تریاس بالایی-ژوراسیک زیرین است (شکل ۵). سنگ‌های آذرین مافیک متعلق به تریاس بالایی به خوبی توسعه یافته‌اند و سطح هم‌شیب با لایه‌های فرسایشی سازند شمشک دارند (شکل ۵). حضور توالی ضخیم سنگ‌های آذرین مافیک تریاس بالایی-ژوراسیک زیرین (حدود ۲۰۰۰ متر ضخامت) و توالی‌های سیلیسی آواری

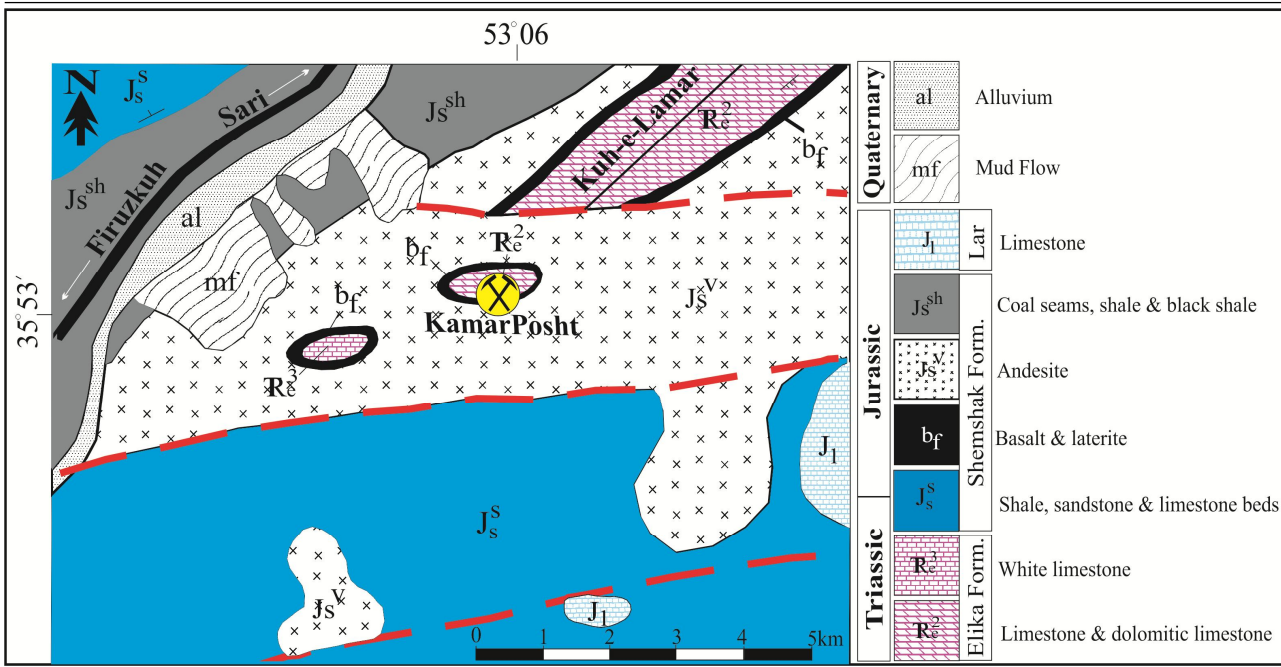
ژوراسیک بالایی (گابرو، دیاباز و یا بازالت) در فاصله کمتر از ۱۰ کیلومتری معدن اراء حضور دارند (شکل ۶). در ناحیه اراء علاوه بر معدن اراء، کانی سازی Pb و Ba در لایه‌های کربناته تریاس میانی میزبان شده‌اند.

سازند پالند به سن تریاس بالایی دارد. توالی ضخیم به سن تریاس بالایی-ژوراسیک زیرین که سیلیسی آواری است، در مجاورت سنگ‌های میزبان کربناته واقع شده است. همچنین رخمنون‌هایی جزئی از سنگ‌های آذرین مافیک تریاس بالایی و



شکل ۴. نقشه زمین‌شناسی ساده‌شده محیط پیرامون کانسار پاچی-میانا در بال غربی طاقدیس بولا به عنوان بخشی از نقشه زمین‌شناسی پل سفید با مقیاس ۱:۱۰۰۰۰۰ (Vahdati Daneshmand, 2003)

Fig. 4. Simplified geological map around the Pachi-Miana fluorite deposit at western slope of Boula anticline as part of geological map of Pole-e-Sefid at 1:100000 scale (Vahdati Daneshmand, 2003)



شکل ۵. نقشه زمین‌شناسی ساده‌شده محیط پیرامون کانسار کمرپشت در طاقدیس کوه لامر به عنوان بخشی از نقشه زمین‌شناسی سمنان با مقیاس ۱:۱۰۰۰۰۰ (Nabavi, 1987; Nabiloo et al., 2017)

Fig. 5. Simplified geological map around the KamarPosht fluorite deposit at southern slope of Lamar anticline as part of geological map of Semnan at 1:100000 scale (Nabavi, 1987; Nabiloo et al., 2017)

غله‌ت ۰/۱ ppm برای عناصر Ge و As و غله‌ت ۰/۰۲ ppm برای عناصر Cd و Se و غله‌ت ۰/۰۱ ppm برای Hg و غله‌ت ۱۰ ppm برای Ag غله‌ت ۱ ppm بوده است. داده‌های حاصل از تجزیه شیمیایی نمونه‌های خالص از گالن در جدول ۲ ارائه شده است.

بحث و بررسی

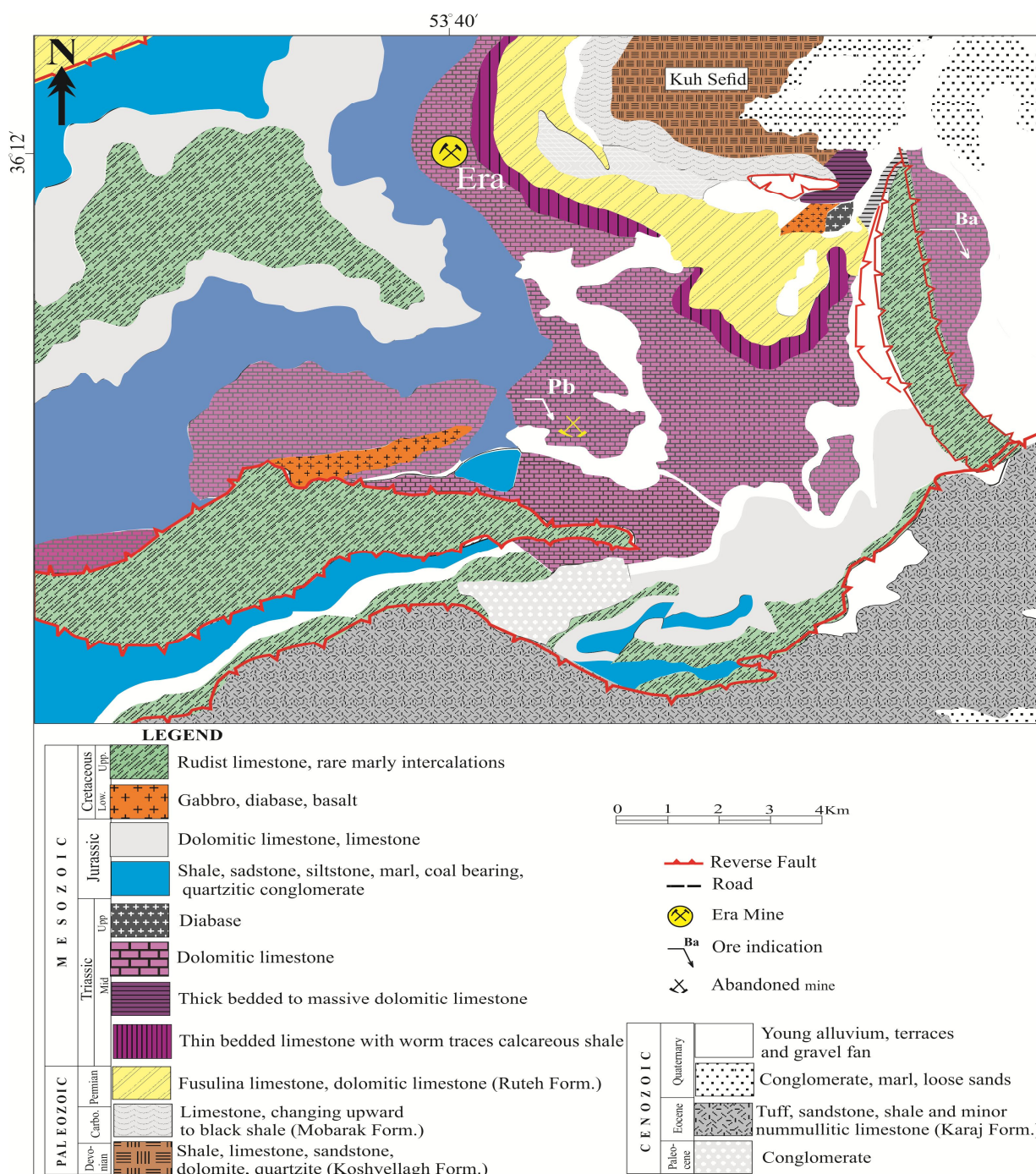
بیشترین غله‌ت عناصر کمیاب در نمونه‌های گالن به ترتیب مربوط به Sb (با میانگین ۶۹۲ ppm) و حداقل غله‌ت ppm (با میانگین ۲۸/۲۴ ppm) و حداقل غله‌ت ppm (با میانگین ۲۵/۳۱ ppm) و کمترین مقدار مربوط به Bi (میانگین ۰/۰۴ ppm)، Se (۰/۰۴ ppm) و Hg (۰/۳۵ ppm) به دست آمد (جدول ۲ و شکل ۷). میانگین ۱/۸۹ ppm (Ga) و ۰/۰۹ ppm (Tl) (میانگین ۰/۰۶ – ۰/۰۶ ppm) و ۰/۰۶ – ۰/۰۶ ppm (As) فلزات کمیاب در نمونه‌های گالن بر پایه ویژگی‌های ساخت و

روش مطالعه

برای انجام این پژوهش، نمونه‌برداری بر مبنای تنوع ساختی- بافتی و کانی‌شناسی کانسنگ‌ها از ۳ معدن فعال فلورئیت در منطقه مورد بررسی شامل معادن پاچی-میانا، کمرپشت و اراء انجام شد. مشخصات این کانسنگ‌ها در جدول ۱ خلاصه شده است و تصویر تعدادی از آنها در شکل‌های ۲ و ۳ ارائه شده است. بعد از خردایش نمونه‌ها تا اندازه آزادشدن گالن از کانسنگ‌ها و بعد از شستشوی نمونه‌های خردشده روی الک، جداسازی و خالص‌سازی گالن به روش جدایش دستی و توسط بایون‌کولار انجام شد. از نمونه‌ها مقطع صیقلی تهیه شد تا خلوص کانی‌شناسی آنها مورد تأیید قرار گیرد. سپس نمونه‌های خالص از گالن (۲۶ نمونه) به وزن تقریبی ۸ تا ۱۰ گرم در هر نمونه برای سنجش غله‌ت کمیاب به آزمایشگاه ActLabs کانادا ارسال شدند. نمونه‌ها بعد از پودرشدن و انحلال به روش Aqua ICP-MS مورد تجزیه قرار گرفتند. حد Regia با فناوری ICP-MS مورد تجزیه قرار گرفتند. حد تشخیص دستگاه برای عناصر Bi، Te، Sb، In، Ga، Tl و

هم پوشانی در دامنه غلظت عناصر در نسل‌های مختلف زایشی گالن مشاهده می‌شود (شکل ۷، B، C، D، E، F، G، H، I و J).

بافت کانی‌سازی آنها در کانسنگ‌های معادن فلوریت (رگجه-ای و افشار دانه‌درشت تا دانه‌ریز) گوناگونی اندکی در غلظت عناصر کمیاب در آنها را نشان داد؛ ولی در اغلب موارد



شکل ۶ نقشه زمین‌شناسی ساده شده محیط پیرامون کوه سفید (ساده شده بخشی از نقشه زمین‌شناسی ۱:۱۰۰۰۰۰ کیاسر (Saeidi and Akbarpour, 1992; Sefidian, 2014)

Fig. 6. Simplified geological map around the Era fluorite deposit at western slope of Kuh-e-Sefid anticline as part of geological map of Kiasar at 1:100000 scale (Saeidi and Akbarpour, 1992; Sefidian, 2014)

جدول ۱. ویژگی‌های کانی‌شناسی کانسنگ‌های کانسارهای فلوریت پاچی-میانا، ارا و کمرپشت استفاده شده در این پژوهش

Table 1. Mineralogical characteristics of ore samples from Pachi-Miana, Era and KamarPosht fluorite deposits used in current study

Ore deposit	Sampel No.	Sample description
KamarPosht	Kp-4-Gn.	Medium-grained galena associated with coarse-grained barite
	Kp-6-Gn.	Fine-grained galena associated with fluorite and barite as open-space filling texture
	Kp-9-Gn.	Coarse-grained galena with fluorite and dolomite
	Kp-10-Gn.	Coarse-grained galena with fluorite and dolomite
	Kp-11-Gn.	Coarse-grained galena with fluorite, barite and dolomite
	Kp-12-Gn.	Vein consisting coarse-grained galena associated with fluorite and dolomite
	Kp-19-Gn.	Coarse-grained galena with fluorite and dolomite
	Kp-Mt-4-Gn.	Massive galena with fluorite, barite and calcite
	Kp-Mt-5-Gn.	Coarse-grained galena vein, calcite and barite associated with silicic alteration
	Kp-Mt-6-Gn.	Coarse-grained galena, calcite and barite associated with silicic alteration
Pachi-Miana	Kp-Mt-7-Gn.	Coarse- to medium-grained galena associated with silica and dolomite
	Kp-1-8-Gn.	Disseminated coarse-grained galena in a barite groundmass
	Pm-8-Gn.	Coarse-grained galena with fluorite
	Pm.17-Gn.	Fine- to medium-grained galena with fluorite and calcite
	Pm-16-Gn.	Coarse- to medium- grained galena with fluorite, calcite and barite
Era	Pm.37-Gn.	Disseminated coarse-grained galena associated with calcite
	Pm-19-Gn.	Disseminated coarse- to medium-grained galena, fluorite and barite in rock groundmass
	Pm-31-Gn.	Disseminated coarse-grained galena associated with fluorite in rock groundmass
	E-17-2-Gn.	Medium-grained galena with fluorite and dolomite
	E-12-8-Gn.	Disseminated coarse-grained galena associated with fluorite and dolomite
	E-12-7-Gn.	Disseminated coarse-grained galena associated with fluorite and dolomite
	E-23-Gn.	Massive coarse-grained galena with fluorite and barite
	E-21-Gn.	Vein consisting coarse-grained galena and fluorite
	E-7-Gn.	Disseminated coarse-grained galena associated with fluorite
	E-15-Gn.	Massive galena associated with fluorite and dolomite
	E-20-Gn.	Coarse- to medium-grained galena in a barite-fluorite groundmass

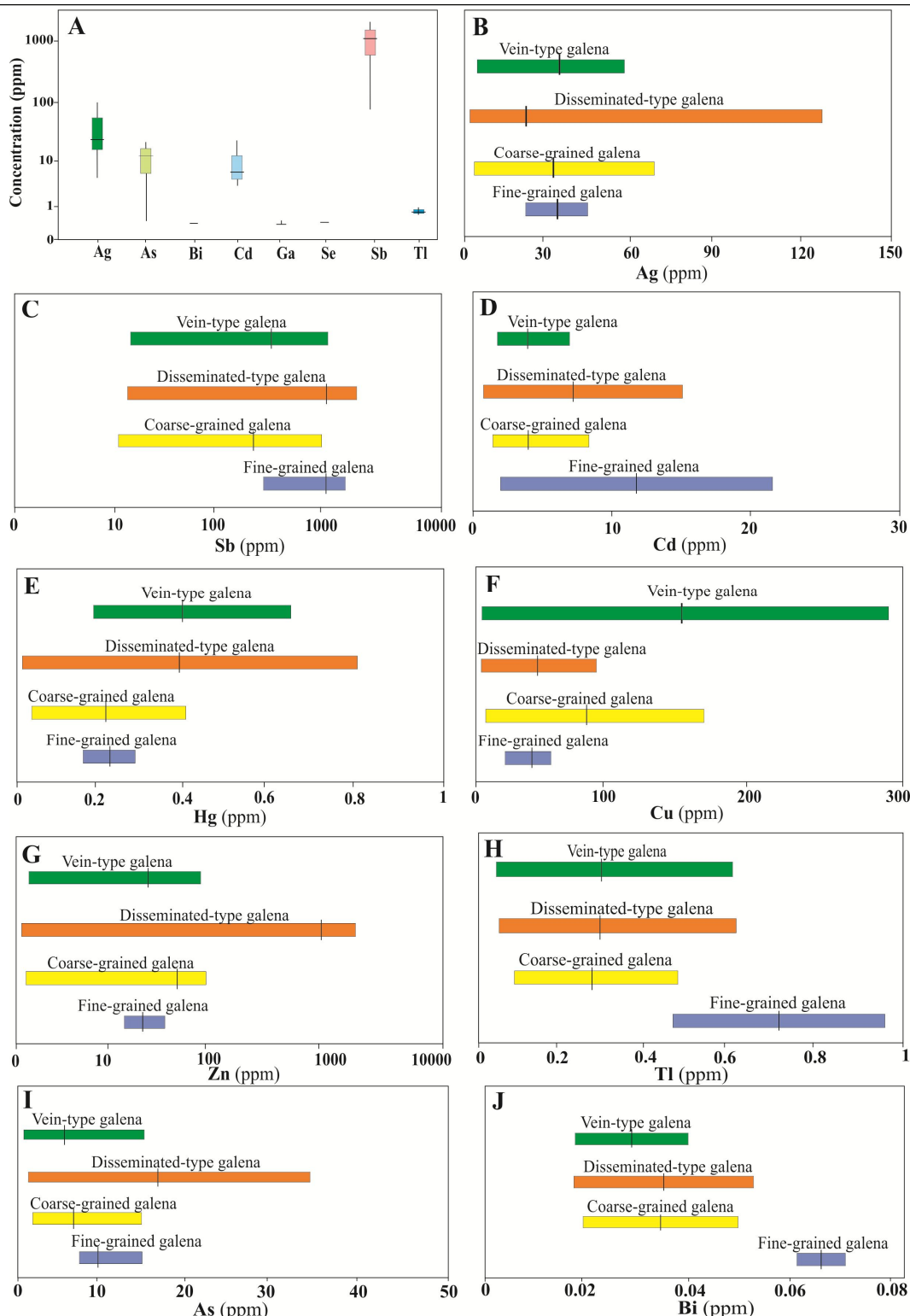
بررسی نزدیک به مقادیر عناصر یادشده در نمونه‌های گالن کانسارهای MVT است؛ اما گالن‌های موردنظر از عناصر Ag، Cd، Bi و As به شدت فقیرتر از گالن‌های این نوع کانسارها هستند (شکل ۸).

مقایسه دامنه غلظت فلزات کمیاب در گالن کانسارهای مورد بررسی با گالن موجود در کانسارهای Irish SEDEX، MVT و همچنین کانسارهای سرب با سنگ میزبان کربناته ایران مانند نخلک (اتارک) و آب‌باغ (جنوب شهرضا) نشان می‌دهد که غلظت عناصر Tl، Hg، Sb، Se و Cu در گالن‌های مورد

جدول ۲. غلظت عناصر (بر حسب ppm) در نمونه‌های گالن کانسارهای فلوریت پاچی-میانا، اراء و کمرپشت استفاده شده در این پژوهش

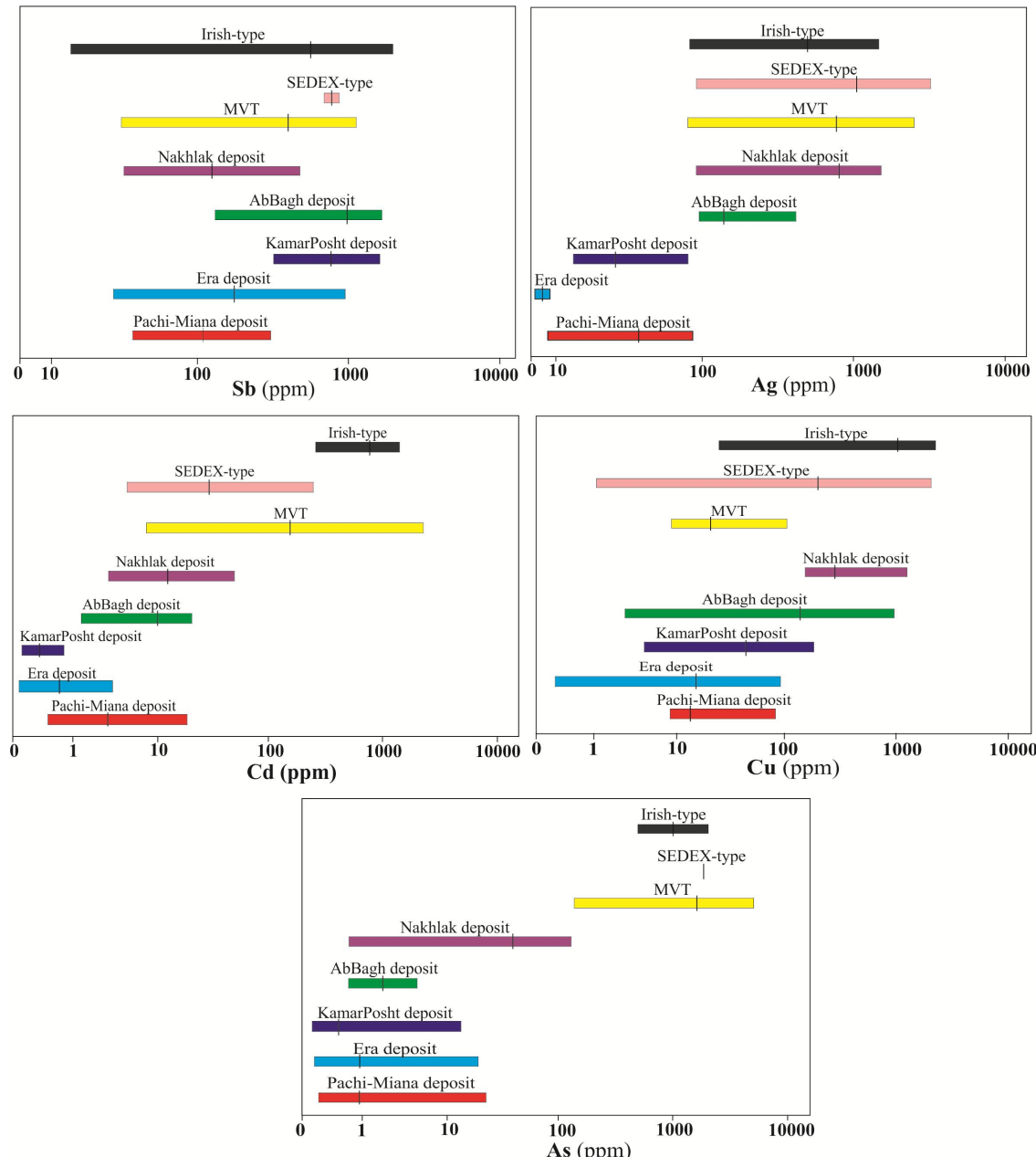
Table 2. Elements concentration (ppm) in galena samples from Pachi-Miana, Era and KamarPosht fluorite deposits used in current study

Element Sample No.	Zn	Cu	Tl	Sb	Se	Hg	Ga	Cd	Bi	As	Ag
Kp-6-Gn.	37.8	30.2	0.92	1985	<0.1	0.17	0.16	3.37	0.07	5.5	47
Kp-11-Gn.	34.8	188	0.63	1089	<0.1	0.2	<0.02	6.18	0.03	9	55.1
Pm-17-Gn.	50.9	51	0.53	439	<0.1	0.35	<0.02	23.1	0.06	15.8	26.3
Pm-8-Gn.	10.9	17.2	0.31	694	8.1	0.07	<0.02	5.01	0.03	4	19.6
Pm-37-Gn.	29.1	24.5	0.27	315	<0.1	0.35	<0.02	15.5	0.05	9.4	16.2
E-17-2-Gn.	218	101	0.18	874	<0.1	0.87	<0.02	8.54	0.02	0.9	7.9
Kp-19-Gn.	1.5	88.3	0.33	967	0.4	0.06	<0.02	2.29	<0.02	6	45.3
E-12-8-Gn.	0.4	4.76	0.06	98.9	0.7	0.06	<0.02	1.14	<0.02	0.3	2.8
Kp-10-Gn.	7.1	176	0.25	671	<0.1	0.25	<0.02	3.36	<0.02	12.7	23
Kp-Mt-6-Gn.	5	13.7	0.63	1413	<0.1	0.07	<0.02	6.11	<0.02	2	39.5
E-23-Gn.	0.2	4.31	0.14	13.6	1.6	0.19	<0.02	7.68	0.05	0.8	7.4
E-7-Gn.	3741	125	-	99	-	-	-	13.7	0.04	36	2.9
E-21-Gn.	2.9	1.74	0.05	29.9	0.9	0.22	<0.02	5.29	0.02	0.1	4.12
E-12-7-Gn.	123	7.5	-	145	-	-	-	1.7	0.02	15	2.6
E-15-Gn.	158	7.5	-	41	-	-	-	4.2	0.03	15	4
E-20-Gn.	4.5	2.18	0.09	16.5	1	0.17	0.03	4.59	0.02	<0.1	5.87
Kp-Mt-7-Gn.	132	7.5	-	963	-	-	-	3.9	0.03	15	26.8
Kp-Mt-5-Gn.	106	297	0.15	666	0.6	0.26	0.09	4.23	0.04	2.3	64.2
Kp-Mt-4-Gn.	3.4	18.9	0.52	666	0.8	0.22	0.02	3.34	0.02	3.2	40.7
Kp-1-8-Gn.	7	66.8	0.1	666	1	10	0.04	5.24	0.02	5.5	40.4
Kp-9-Gn.	167	52.2	0.29	666	1.2	0.43	0.15	4.15	0.05	9.4	70.2
Kp-12-Gn.	54	116	-	736	-	-	-	3.2	0.04	15	29.7
Kp-4-Gn.	278	17	-	2581	-	-	-	3.5	0.03	15	60.3
Pm-31-Gn.	56.6	18.7	0.64	467	0.7	0.39	0.18	7.4	0.02	5.2	<1
Pm-16-Gn.	700	99	-	72	-	-	-	6.2	0.05	35	17.5
Pm-19-Gn.	1032	13	-	486	-	-	-	7	0.02	15	28.2
Mean	267. 73	65.77	0.35	692.34	1.89	1.20	0.09	6.56	0.04	10.72	28.24
Max.	3741	297	0.92	2581	8.10	10	0.18	23.10	0.07	36	70.20
Min.	0.2	1.74	0.05	13.60	0.40	0.06	0.02	1.14	0.02	0.10	2.60
Clark	125	55	0.45	0.2	0.05	0.08	15	0.2	0.17	1.8	0.07



شکل ۷. A: نمودار جعبه‌ای نشان‌دهنده دامنه غلظت عناصر کمیاب در گالن کانسارهای فلوئوریت پاچی-میانا، اراء و کمرپشت، B، C، D، E، F، G، H، I و J: مقایسه غلظت عناصر کمیاب در نسل‌های مختلف گالن در کانسارهای فلوئوریت پاچی-میانا، اراء و کمرپشت

Fig. 7. A: Box plot showing concentration range of trace elements in galena samples from Pachi-Miana, Era and KamarPosht fluorite deposits, B, C, D, E, F, G, H, I and J: Comparative plots showing trace elements concentration in different generations of galena from Pachi-Miana, Era and KamarPosht fluorite deposits



شکل ۸. مقایسه دامنه غلظت فلزات کمیاب در نمونه‌های گالن کانسارهای فلوریت پاچی میانا، اراء و کمرپشت با نمونه‌های گالن از کانسارهای Irish و گالن کانسارهای نخلک و آبباغ ایران. داده‌های مربوط به کانسارهای MVT از مونتیرو و همکاران (Monteiro et al., 2006)، کوک و همکاران (Cook et al., 2009) و یی و همکاران (Ye et al., 2011) (2011)، داده‌های مربوط به کانسارهای نوع SEDEX از مونتیرو و همکاران (Monteiro et al., 2006)، لاکینگتون و همکاران (Lockington et al., 2014) و جورج و همکاران (George et al., 2015)، داده‌های مربوط به کانسارهای نوع Irish از ویلکینسون و ایری (Wilkinson and Eyre, 2005)، داده‌های مربوط به کانسار نخلک از جزی و شهاب‌پور (Jazi and Shahabpour, 2010) و داده‌های مربوط به کانسار آب باغ از موحدنیا و همکاران (Movahednia et al., 2013) گرفته شده است.

Fig. 8. Comparison between concentration range of trace elements in galena samples from Pachi-Miana, Era and KamarPosht fluorite deposits and those of MVT, SEDEX and Irish-type deposits, Nakhlak and AbBagh deposits of Iran. Data used for MVT deposits from Ye et al. (2011), Cook et al. (2009) and Monteiro et al. (2006); for SEDEX-type deposits from Monteiro et al. (2006), Lockington et al. (2014) and George et al. (2015); for Irish-type deposits from Wilkinson and Eyre (2005); for Nakhlak deposits from Jazi and Shahabpour (2010) and for AbBagh deposit from Movahednia et al. (2013).

برای بررسی ارتباط بین غلظت عناصر در گالن از محاسبه ضریب همبستگی به روش اسپرمن و رسم نمودارهای دو متغیره استفاده شد (جدول ۳). ضریب همبستگی خطی (r) به دست آمده با استفاده از روش اسپرمن بین غلظت عناصر نشان داد که همبستگی مثبت معناداری بین برخی از جفت عناصر در گالن برقرار است.

جدول ۳. ضریب همبستگی محاسبه شده بین غلظت عناصر کمیاب در نمونه‌های گالن کانسارهای فلوریت پاچی-میانا، اراء و کمرپشت

Table 3. Calculated correlation coefficient between trace elements concentration in galena samples of Pachi-Miana, Era and KamarPosht fluorite deposits

	Ag	As	Bi	Cd	Ga	Hg	Sb	Se	Tl	Cu	Zn
Ag	1										
As	0.43	1									
Bi	0.12	0.11	1								
Cd	-0.08	-0.7	0.28	1							
Ga	0.17	0.13	0.21	-0.42	1						
Hg	0.02	0.11	0.15	0.39	0.35	1					
Sb	0.66	0.33	-0.01	-0.27	0.04	-0.21	1				
Se	-0.30	-0.16	-0.22	-0.30	-0.11	-0.14	-0.12	1			
Tl	0.82	0.41	0.52	0.23	0.16	-0.05	0.74	-0.37	1		
Cu	0.43	0.52	0.27	0.10	-0.07	0.10	0.43	-0.46	0.71	1	
Zn	0.09	0.20	0.29	0.23	0.39	0.48	0.11	-0.12	0.30	0.30	1

al., 2008; Renock and Becker, 2011; George et al., 2015). غلظت‌های زیاد Fe، Cu و Zn در گالن تقریباً ناشی از حضور ادخال‌های میکروسکوپی کالکوپیریت، پیریت و اسفالریت دانسته شده است. سازوکار جانشینی ساده عنصری یا دو عنصری به جای Pb برای عناصر Ag، Cd، Hg، Bi، Sb و به صورت $\text{Ag}^{+} + (\text{Bi}, \text{Sb})^{3+} \leftrightarrow \text{Pb}^{2+} \leftrightarrow (\text{Cd}, \text{Hg})^{2+}$ مطرح شده است (George et al., 2015). نتایج به دست آمده از این پژوهش نشان داد که گالن‌های مورد بررسی به طور نسبی از Sb و Ag غنی و از As، Cd، Bi، Ge، Se، Ga نیز غنی نیستند.

مطالعه در مورد نحوه رخداد و حضور فلزات کمیاب در گالن، آنها را به طور عمده به صورت ۱- جانشینی عنصری به جای سرب در ساختار بلوری گالن یا به صورت محلول جامد، ۲- ادخال جامد با ترکیب کانی شناسی ویژه آن عنصر کمیاب و یا ۳- همراه با ادخال‌های کانی‌های بیگانه حامل عناصر یادشده مانند اسفالریت، تتراهریت و کالکوپیریت (به صورت محلول جامد یا ادخال جامد) در شبکه بلوری گالن نشان داده است (Bethke and Barton, 1971; Foord et al., 1988; Lueth et al., 2000; Tauson et al., 2005; Chutas et

Cu در گالن‌های مورد بررسی و روابط آن با عناصر دیگر، حضور ادخال‌های کالکوپیریت (شکل A-۱۰) و تراهیدریت-تانتیت در گالن (شکل B-۱۰) می‌تواند مهم‌ترین دلیل بروز غلظت‌های یادشده از Cu در گالن‌های مورد بررسی باشد و جانشینی Cu به جای Pb در گالن بی‌اهمیت است. Ag با میانگین غلظت ۲۹ ppm از جمله عناصر فراوان در گالن‌های مورد بررسی است که با Sb, Sr, Tl, As, Cu و Sr همبستگی بالایی نشان داد. حضور Ag در گالن به صورت همبستگی Pb با توجه به نزدیکی شاعع یونی آنها به یکدیگر (Pb_{1/26} آنگستروم برای Ag و ۱/۲۰ آنگستروم برای Pb) امکان‌پذیر است؛ اما مقدار جانشینی متفاوت بوده و به حضور Chutas et al., 2008; Renock and Becker, 2011 عناصر واسطه‌ای همچون Sb و Bi بستگی دارد (al., 2008; Renock and Becker, 2011). اگر عناصری مانند Bi³⁺ و Sb³⁺ کاتیون‌های سه‌ظرفیتی دیگر) در گالن حضور داشته باشد، مقادیر مهمی از Ag از طریق جانشینی دوتایی Pb²⁺ ↔ 3Ag⁺(Bi, Sb) می‌تواند به ساختار گالن Chutas et al., 2008; Renock and Becker, 2011). قابلیت انحلال Ag در گالن نشان می‌دهد که غلظت آن به ۹/۴ wt.% بین دماهای ۳۵۰ و ۴۰۰ درجه سانتی‌گراد از طریق Foord and Shawe, 1989 سازوکار جانشینی دوتایی می‌رسد (). معولاً تمرکز Bi و Sb در گالن به صورت ادخال جامد و یا محلول جامد است. برای مثال، این دو عنصر می‌توانند به صورت کانی دیافوریت (Pb₂Ag₃Sb₃S₈) همراه با گالن، خردمند (Sharp and Buseck, 1993) با این شرایط، جانشینی Ag در گالن به صورت محلول جامد رخ می‌دهد. نتایج پژوهش پرینگ و ویلیامز (Pring and Williams, 1994) نشان داده است که جانشینی Ag در گالن به صورت محلول جامد در غیاب Bi یا Sb به بیشتر از ۱ mol/۰ درصد نمی‌رسد و در نتیجه ادخال‌های تشکیل شده نقره خالص هستند که هیچ ارتباط بلورشناسی با گالن میزان ندارند. کانی‌های نقره‌دار معمول به شکل ادخال در گالن شامل نقره خالص (Ag)، آکانتیت و آرژانیت (Ag₂S)، سولفوسالت‌های نقره مانند پیرآرژیریت

In و Hg فقیر هستند. Sb با بیشترین غلظت در گالن‌های مورد بررسی (۶۲۳/۴ ppm)، بالاترین ضریب همبستگی را با Tl, Ag و Cu نشان داد؛ اما همبستگی آن با As ضعیف بود. با توجه به ضرایب همبستگی بدست آمده بین غلظت عناصر یادشده، حضور Sb در گالن می‌تواند به صورت ادخال‌هایی از کانی‌های آنتیمواندار مانند تراهیدریت (Cu₁₂Sb₄S₁₃)-تانتیت (Cu₁₂As₄S₁₃), بولانثریت (Pb₅Sb₄S₁₁), پلاژیونیت (Pb₉Sb₈S₂₁), زینکنیت (Pb₅Sb₈S₁₇), منگھینیت (Pb₆Sb₁₄S₂₇) و فاماتینیت (Cu₃Sb₇S₂₄) استنباط شود. از آنجا که عناصر As سازنده تراهیدریت و تانتیت هستند؛ لذا به نظر می‌رسد ناخالصی‌های Sb و Cu در گالن‌های مورد بررسی احتمالاً می‌توانند با حضور تراهیدریت یا فاماتینیت در گالن مرتبط باشند. در نمودارهای Cu-Sb-As، غلظت عناصر یادشده در تعداد زیادی از نمونه‌ها بر روی ضلع Sb-Cu و البته نزدیک به رأس Sb تجمع یافته است که اشاره به رخدادهای احتمالی به شکل جانشینی عنصری (به جای Pb) و یا ترکیب فاماتینیت (Cu₃Sb₄S₁₃) و تراهیدریت (Cu₁₂Sb₄S₁₃) دارد (شکل A-۹). از طرف دیگر، توزیع تعدادی از نمونه‌ها داخل نمودار و نزدیک به مرکز آن می‌تواند به حضور فرعی محلول جامد تراهیدریت-تانتیت داخل ساختار گالن اشاره داشته باشد. با توجه به غلظت بسیار پایین As در گالن‌های مورد بررسی (متوسط غلظت ۱۰/۸۹ ppm) و همبستگی قوی آن با Cu و S حضور آن به صورت ادخال‌های تانتیت در گالن‌های مورد بررسی محتمل است. این رخدادهای کانی‌شناسی می‌تواند با غلظت‌های بالای گزارش شده از Cu داخل گالن‌های مورد بررسی توجیه شود (شکل A-۹). بلکبرن و شوندنمن (Blackburn and Schwendeman, 1977) غلظت Cu در گالن را تا میزان ۷۰ ppm گزارش کردند. گالن‌های مورد بررسی به طور متوسط ۵۷ ppm مس برخوردار بودند. همچنین همبستگی Cu با Pb در گالن‌های مورد بررسی بسیار ضعیف بود و قوی‌ترین همبستگی را با Tl و AS نشان داد. با توجه به غلظت نسبتاً بالای

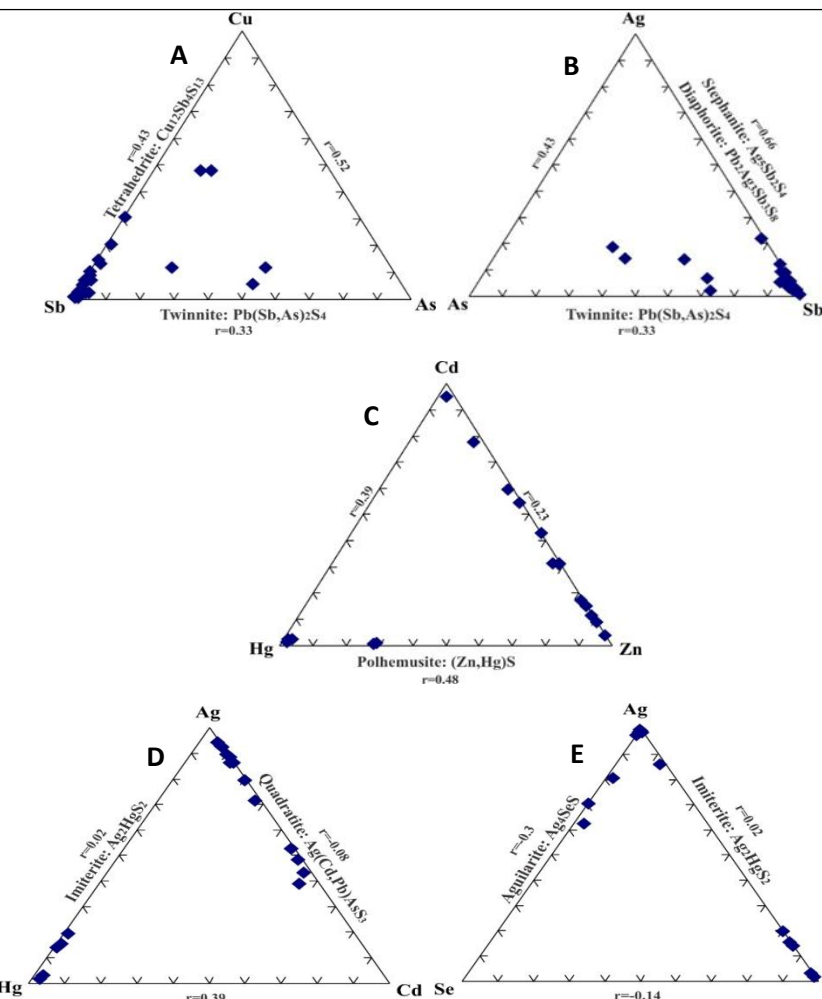
نشان می دهد که این خود می تواند با غلظت پایین As و همچنین Ag در ساختار گالن های مورد بررسی سازگار باشد؛ زیرا در کانسارهای گرمابی تنانتیت در مقایسه با تراهیدریت، میزان Ag معرفی شده است (شکل B-۹). احتمال حضور Ag اصلی به صورت ادخالهایی از کانی های سولفوسالتی Ag-Sb به صورت پیرآژریست (Ag_3SbS_2)، دیافوریت، پلی بازیت (Ag_5SbS_4)، استفانیت ($\text{Ag}_{16}\text{Sb}_2\text{S}_{11}$) (Goh et al., 2006) که البته تعداد آنها در بالا از Ag باشد (Goh et al., 2006) شاید سازگار با نمونه های گالن دارای غلظت های $[\text{Ag}, \text{Cu}]$ شود. این پژوهش ناچیز است. با توجه به توزیع چند نمونه داخل نمودار نزدیک به ضلع As-Sb می توان به وجود ترکیباتی از As-Sb در گالن اشاره کرد که ممکن است میزان کنترل بخشی As-Sb در گالن باشد. این ترکیب به احتمال زیاد محلول جامد از Ag تراهیدریت- تنانتیت نفره دار است.

در گالن‌های مورد بررسی از غلظت نسبتاً پایینی Cd و Hg در میانگین ۶/۱۵ ppm برای Cd و ۰/۸ ppm برای Hg (برخوردار با Zn در گالن) هستند که ضریب همبستگی بالایی را با غلظت Zn در گالن و با Fernandez and Izard (2005) کمیت و کیفیت رخداد Cd در گالن را تحت کنترل غلظت Zn و حضور اسفالریت در گالن می‌دانند؛ زیرا تمایل زیادی به تمرکز در اسفالریت به صورت جاشینی Cd و تشکیل گرینوکیت (CdS) دارد. بر این اساس، غلظت‌های آشکارشده از Cd در گالن‌های مورد بررسی اغلب می‌توانند به حضور ادخال‌های میکرونی از اسفالریت در گالن مربوط باشند؛ زیرا غلظت‌های قابل ملاحظه‌ای از Zn در گالن‌های مورد بررسی (به طور میانگین ۲۶۷ ppm) وجود دارند. همچنین Tauson (2005) نیز از دیگر موارد حضور Cd در شبکه گالن (et al., 2005) پژوهش‌های تاسان و همکاران (Tauson et al., 2005) نشان داده است که حضور Hg در گالن احتمالاً از طریق جانشینی دیادوکی به جای Pb (جانشینی عنصری از نوع محلول جامد) صورت می‌گیرد. همچنین بتکی و بارتون

(Ag₃SbS₂), دیافوریت، پلی بازیت (Ag₁₆Sb₂S₁₁), استفانیت (Ag₅SbS₄), پروستیت (Ag₃AsS₃) و یا به صورت محلول Sharp and Buseck, 1993; Lueth et al., 2000; Cook et al., در 2007. در این پژوهش همبستگی Ag با Sb، Cu و Tl را ساختار گالن می‌تواند حضور Ag در گالن‌های مورد بررسی را به صورت جانشینی دو تایی و به صورت رخدادهای بالا تقویت کند. همچنین بر پایه همبستگی‌های یادشده، Ag در گالن‌های مورد بررسی ممکن است به صورت جایگزینی عنصری از نوع محلول جامد در ساختار تراهیدریت ارجح تر از تنانتیت و یا احتمالاً به صورت ادخال‌هایی از سولفوسالت‌های Ag-Sb مانند پیرآژریت، دیافوریت، پلی بازیت، استفانیت و استرومیریت رخداده باشد (Goh et al., 2006). غلظت نسبتاً بالای Ag در برخی از گالن‌ها می‌تواند با حضور ادخال‌های میکرونی آکانتیت توضیح داده شود (Krismer et al., 2011) و اگر دو عنصر Sb و Bi نیز حضور داشته باشند، ممکن است با فازهای انحلال جامد مثل میارژریت (Ag₃SbS₂) یا متیلیدیت Chutas et al. (AgBiS₂) همراه شده باشد. شوتاس و همکاران (al., 2008) نشان داد که Bi در جانشینی دو تایی مقدم بر Sb است؛ گرچه به درست در یک جانشینی دو تایی مشابه با As³⁺ و Ag⁺ می‌تواند در گالن جانشین شود. وقتی Sb غالب است، کانی‌های ادخال معمول شامل میارژریت، استینیت، تلور آنتیمونی و یا سولفوسالت‌های Ag-(Cu)-Pb-Sb هستند. وقتی Bi غالب است، کانی‌های ادخال معمول شامل ییسموتینیت و متیلیدیت خواهند بود (George et al., 2015). با توجه به غلظت بسیار اندک Bi در گالن‌های مورد بررسی (میانگین ۰/۰۳ ppm)، احتمال حضور Ag به صورت ادخال متیلیدیت در آنها نیست. با این تفاسیر و برپایه همبستگی‌های بین Ag و دیگر عناصر می‌توان استباط کرد که Ag در گالن‌های مورد بررسی احتمالاً به صورت جایگزینی عنصری از نوع محلول جامد در ساختار تراهیدریت ارجح تر از تنانتیت رخداده است. تجمع غلظت عناصر یادشده در تعدادی از نمونه‌های گالن نزدیک به رأس Sb، حضور تنانتیت در گالن‌های مورد بررسی را ضعیف

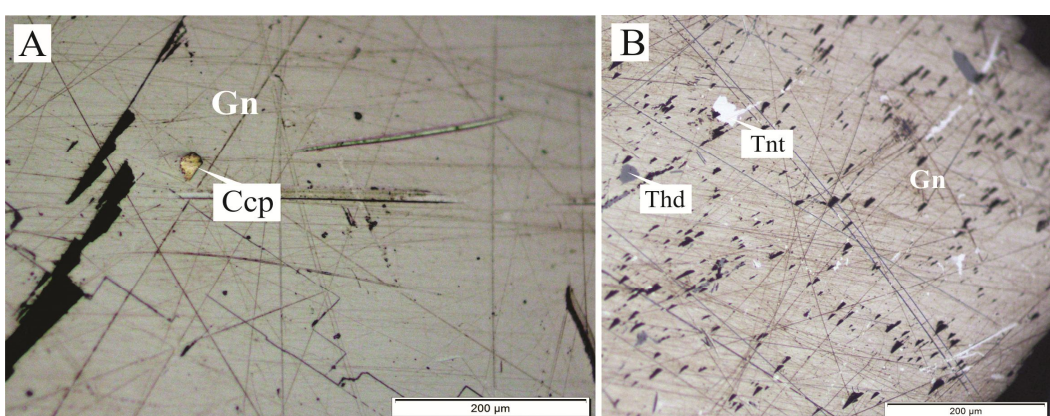
گالن نشان می‌دهد (شکل D-۹ و E). برپایه عدم همبستگی مثبت بین Ag و Se، بعيد به نظر می‌رسد که ترکیب Ag_4SeS با توجه به غلظت پایین این عناصر در گالن‌های مورد بررسی وجود داشته باشد. این دو عنصر ممکن است به صورت جانشینی (Ag جانشین S) در گالن حضور داشته باشد. مقایسه غلظت فلزات کمیاب در گالن کانسارهای فلوریت، Irish-type مورد بررسی با سایر انواع مختلف کانساری (SEDEX و MVT) نشان داد که مقدار عناصر کمیابی مانند Sb، Hg و Tl در گالن‌های مورد بررسی نزدیک به مقادیر عناصر یادشده در نمونه‌های گالن کانسارهای نوع دره می‌سی‌سی‌پی (MVT) است؛ اما در مورد عناصری مانند Ag، MVT و Cd به شدت فقیرتر از گالن‌های کانسارهای Bi، As و Se است. جانشینی و حضور Bi و Sb در گالن، تحت کنترل دمای تشکیل گالن تشخیص داده شده است؛ به طوری که اگر گالن دما بالا باشد، مقدار Bi آن بالا و مقدار Sb آن پایین است (مقدار Bi/Sb کمتر از ۰/۰۶؛ در حالی که گالن‌های دما پایین دارای Bi کم و Sb زیاد هستند) (Song, 1984; Marshal and Joensuu, 1961; Malakhov, 1968; Czamanske and Hall, 1975). به عنوان مثال نسبت Sb به Bi در کانسارهای رسوبی همزاد بسیار بالا بوده و این مسئله به دلیل دمای پایین تشکیل گالن دانسته شده است. از طرف دیگر، لوفتوس-هیلز و سولومون (Loftus-Hills and Solomon, 1967) در کانی‌های سولفیدی را مربوط به خاستگاه آتشفسانی و ارتباط آنها با فرایندهای کانی‌سازی دما بالا می‌دانند. غلظت بسیار بالای Sb و غلظت بسیار اندک Bi و Se در نمونه‌های گالن مورد استفاده در این پژوهش سازگار با شرایط دما پایین تشکیل کانسارهای فلوریت مورد بررسی (خاستگاه رسوبی زاد) و عدم ارتباط منشائی آنها با فعالیت‌های آذرین در منطقه مورد بررسی است که قبلاً توسط نبی‌لو و همکاران (Nabiloo et al., 2017) و مهریان و همکاران (Mehraban et al., 2016) مورد تأکید قرار گرفته است.

Bethke and Barton, 1971) و تاسان و همکاران (Tauson et al., 2005) نشان داده‌اند که Cd و Hg می‌توانند از طریق محلول جامد وارد گالن شوند. همبستگی مثبت Hg و Cd (r=۰/۳۹) در این پژوهش می‌تواند جانشینی یادشده را نشان دهد. فورد و همکاران (Foord et al., 1988) غلظت‌هایی از Round Mountain and Manhattan Gold در نواحی گزارش داده‌اند. در این پژوهش، Hg موجود در گالن بالاترین ضریب همبستگی را با Zn نشان داده است (r=۰/۴۸). شاید غلظت‌های بالای Hg در گالن مربوط به حضور ادخال‌های اسفالریت در گالن باشند که در آنها Hg در ساختار اسفالریت به صورت بخشی جانشین Zn شده است. با توجه به شکل C-۹، نمونه‌های نزدیک به رأس Zn حضور احتمالی اسفالریت را در گالن (احتمالاً به صورت ادخال و همچنین جانشینی Zn به جای Pb) نشان می‌دهند؛ در حالی که نمونه‌های توزیع شده در وسط ضلع Zn-Cd را می‌توان به اسفالریت‌های کادمیومدار و نمونه‌های نزدیک به رأس Cd را می‌توان به جانشینی Cd به جای Pb تفسیر کرد. مقدار Hg در گالن‌های مورد بررسی نسبتاً پایین است. در این پژوهش بالاترین غلظت‌های Hg در گالن‌هایی رخداده است که از بالاترین مقدار Zn برخوردار بودند (غلظت Zn در دو نمونه ۱۱ppm و ۱۰/۶ ppm در این نمونه‌ها ۰/۸۷ ppm و ۰/۴۳ است) و با توجه به همبستگی مثبت بین Zn-Hg، Hg احتمالاً می‌توانسته به صورت کانی پولهموزیت (ZnHgS) یا اسفالریت جیوه‌دار در گالن‌های مورد بررسی حضور داشته باشد. این تفسیر سازگار با غلظت پایین جیوه در گالن‌های مورد بررسی نیز هست. در نمودار Ag-Cd-Hg (شکل D-۹)، با توجه به تمرکز تعدادی از نمونه‌ها نزدیک به رأس Ag و همچنین نبود همبستگی بین Ag و Cd بخشی از Ag احتمالاً به صورت جانشینی با Pb یا به صورت ادخال‌های آرژانتیت (Ag₂S) یا Ag خالص در گالن نیز حضور دارد. در نمودارهای Ag-Se-Hg و Ag-Cd-Hg با توجه به نبود همبستگی بین Hg و Ag نمونه‌های تجمع یافته نزدیک به رأس Hg احتمالاً حضور Hg را به صورت HgS (ادخال) در



شکل ۹. فازهای کانی‌شناسی استنباط شده برای عناصر کمیاب در نمونه‌های گالن کانسارهای فلوریت پاچی-میانا، اراء و کمرپشت

Fig. 9. Mineralogic phases inferred for specific metals in galena samples of Pachi-Miana, Era and KamarPosht fluorite deposits



شکل ۱۰. حضور ادخال‌های کالکوپیریت، تتراهیدریت و تنانتیت در نمونه‌های از گالن کانسارهای فلوریت A: کمرپشت و B: پاچی-میانا. علایم اختصاری از سایولو و اشمید (Siivola and Schmid, 2007) اقتباس شده است (Gn: گالن، Ccp: کالکوپیریت، Thd: تتراهیدریت، Tnt: تنانتیت).

Fig. 10. Presence of chalcopyrite, tetrahedrite and tenantite inclusions in galena samples from A: KamarPosht, and B: Pachi-Miana deposits. Abbreviations after Siivola and Schmid (2007) (Gn: Galena, Ccp: Chalcopyrite, Thd: Tetrahedrite, Tnt: Tenantite).

نتیجه‌گیری

آنچه می‌توان از پژوهش زمین‌شیمی عناصر کمیاب در کانسارهای فلوریت با سنگ میزان کربناته تریاس میانی در البرز مرکزی عنوان نتیجه‌گیری نهایی ارائه کرد، عبارتند از:

(۱) گالن به عنوان کانی اصلی و غالب سولفیدی در کانسارهای مورد بررسی، فقط غلظت‌های نسبتاً بالایی از Sb (با غلظت میانگین 623 ppm) و Ag (با غلظت میانگین 30 ppm) را نشان داد. با توجه به فراوانی گالن در این کانسارها، ارزش حضور این فلزات در گالن به عنوان محصولات جانبی کانسارهای فلوریت مورد بررسی فقط بعد از انجام فرایندهای بازیابی آنها در مقیاس آزمایشگاهی مشخص خواهد شد.

(۲) غلظت عناصر کمیاب و فرعی در گالن‌های مورد بررسی، ارتباط واضحی با همیافت (کانی‌های همراه با گالن) و نحوه رخداد گالن در کانسنگ‌ها (رگچه‌ای، افسان، رگه‌ای و نظایر آن) نشان داد و در بیشتر موارد غلظت عناصر مورد بررسی در رخدادهای مختلف گالن با همدیگر همپوشانی داشتند.

(۳) توزیع عناصر کمیاب و فرعی در گالن کانسارهای مورد بررسی به خوبی قابل مقایسه با داده‌های منتشر شده برای کانسارهای سرب و روی نوع دره می‌سی‌سی‌بی دگر‌شکل شده مانند نوع آلبی در تریاس اروپاست. غلظت پایین Bi و Se در

References

- Ahrens, L., 1953. The use of ionization potentials. II. Anion affinity and geochemistry. *Geochimica et Cosmochimica Acta*, 4(1): 1–29.
- Alirezaee, S., 1989. Contribution to stratigraphy and mode of generation of F-Pb-Ba deposits in Triassic of eastern Alborz. M.Sc. Thesis, Tehran University, Tehran, Iran, 87 pp. (in Persian with English abstract)
- Bethke, P.M. and Barton, P.B., 1971. Distribution of some minor elements between coexisting sulfide minerals. *Economic Geology*, 66(1): 140–163.
- Blackburn, W.H. and Schwendeman, J.F., 1977. Trace element substitution in galena. *The Canadian Mineralogist*, 15(2): 365–377.
- Chutas, N.I., Kress, V.C., Ghiorso, M.S. and Sack, R.O., 2008. A solution model for high-temperature PbS-AgSbS₂-AgBiS₂ galena. *The American Mineralogist*, 93(8):1630–1640.
- Cook, N.J., Ciobanu, C.L., Wagner, T. and Stanley, C.J., 2007. Minerals of the system Bi-Te-Se-S related to the tetradyomite archetype: Review of classification and compositional variation. *The Canadian Mineralogist*, 45(3): 665–708.
- Cook, N.J., Ciobanu, C.L., Pring, A., Skinner, W., Shimizu, M. and Danyushevsky, L., 2009. Trace and minor elements in sphalerite: A LA-

- ICPMS study. *Geochimica et Cosmochimica Acta*, 4(1): 1–29.
- Czamanske, G.K. and Hall, W.E., 1975. The Ag-Bi-Pb-Sb-S-Se-Te mineralogy of the Darwin lead-silver-zinc deposit, southern California. *Economic Geology*, 70(6): 1092–1110.
- Fernandez, P.F.J. and Izard, M.A., 2005. Trace element content in galena and sphalerite from ore deposits of the Alcudia Valley mineral field (Eastern Sierra Morena, Spain). *Journal of Geochemical Exploration*, 86(1): 1–25.
- Foord, E.E. and Shawe, D.R., 1989. The Pb-Bi-Ag-Cu-(Hg) chemistry of galena and some associated sulfosalts; a review and some new data from Colorado, California and Pennsylvania. *The Canadian Mineralogist*, 27(2): 363–382.
- Foord, E.E., Shawe, D.R. and Conklin, N.M., 1988. Coexisting galena, PbSss and sulfosalts: evidence for multiple episodes of mineralization in the Round Mountain and Manhattan gold districts, Nevada. *The Canadian Mineralogist*, 26(2): 355–376.
- George, L., Cook, N.J., Ciobanu, K.L. and Wade, B.P., 2015. Trace and minor elements in galena: A reconnaissance LA-ICP-MS study. *American Mineralogist*, 100(3): 548–569.
- Goh, S.W., Buckley, A.N., Lamb, R.N., Rosenberg, R.A. and Moran, D., 2006. The oxidation states of copper and iron in mineral sulfides, and the oxides formed on initial exposure of chalcopyrite and bornite to air. *Geochimica et Cosmochimica Acta*, 70(10): 2210–2228.
- Gorjizad, H., 1996. Study on geology, mineralogy, facies analysis and genesis of Pachi Miana fluorite deposit. M.Sc. Thesis, Tarbiat Modares University, Tehran, Iran, 156 pp. (in Persian with English abstract)
- Hagni, R., 1996. Mineralogy and significance of bornit ores in the Viburnum trend, southeast Missouri Lead district. In: D.F. Sangster (Editor), Carbonate-hosted Lead-Zinc deposits. Special Publication No. 4, Society of Economic Geology, USA, pp. 611–630.
- Hall, W.E. and Heyl, A., 1968. Distribution of minor elements in ore and host rock, Illinois-Kentucky fluorite district and upper Mississippi Valley Zinc-Lead district. *Economic Geology*, 63(4): 655–670.
- Jazi, M. and Shahabpour, J., 2010. Mineralogical, fabric, texture and geochemical characteristics of Nakhlak lead mine. *Journal of Economic Geology*, 2(2): 131–151. (in Persian with English abstract)
- Krismer, M., Vavtar, F., Tropper, P., Sartory, B. and Kaindl, R., 2011. Mineralogy, mineral chemistry and petrology of the Ag-bearing Cu-Fe-Pb-Zn sulfide mineralizations of the Pfunderer Berg (South Tyrol, Italy). *Austrian Journal of Earth Sciences*, 104(1): 36–48.
- Levinson, A.A., 1980. *Introduction to Exploration Geochemistry*. Applied Publishing, United States, 924 pp.
- Lockington, J.A., Cook, N.J. and Ciobanu, C.L., 2014. Trace and minor elements in sphalerite from metamorphosed sulphide deposits Julian A. *Mineralogy and Petrology*, 108(6): 873–890.
- Loftus-Hills, G. and Solomon, M., 1967. Cobalt, nikel and selenium in sulphides as indicators of genesis. *Mineralium Deposita*, 2(2): 228–242.
- Lueth, V.W., Megaw, P.K.M., Pingitore, N.E. and Goodell, P.C., 2000. Systematic variation in galena solid-solution compositions at Santa Eulalia, Chihuahua, Mexico. *Economic Geology*, 95(8): 1673–1687.
- Malakhov, A.A., 1968. Bismuth and antimony in galenas as indicatirs of some conditions of ore formation. *Geochemistry International*, 7(9): 1055–1068.
- Marshal, R.R. and Joensuu, O., 1961. Crystal habit and trace element content of some galena. *Economic Geology*, 56(6): 758–771.
- Mehraban, Z., Shafiei, B. and Shamanian, G.H., 2016. REEs geochemistry in fluorite deposits of Elika Formation (East of Mazandaran Province). *Journal of Economic Geology*, 8(1): 201–221. (in Persian with English abstract)
- Monteiro, L.V.S., Bettencourt, J.S., Juliani, C. and de Oliveira, T.F., 2006. Geology, petrography, and mineral chemistry of the Vazante non-sulfide and Ambrosia and Fagundes sulfide-rich carbonate-hosted Zn-(Pb) deposits, Minas Gerais, Brazil. *Ore Geology Reviews*, 28(2): 201–234.
- Movahednia, M., Rastad, A. and Rajabi, A., 2013. Investigation of the Geochemical Properties of Subsurface and Rare Substances of Sphalerite and Galena Minerals in Zinc and Lead Abub Bagh deposite, South of Shahrereza, Sanandaj

- Sirjan Zone. 18th Symposium of Iranian Geological Society, Tarbiat Modarres University, Tehran, Iran.
- Nabavi, M.H., 1987. Geological Map of Semnan scale 1:100000. Geological Survey of Iran.
- Nabiloo, F., Shafiei, B. and Amini, A. 2017. Diagenetic and post-diagenetic fabrics in Kamarpasht fluorite mine (east of Mazandaran province): Explaining and genetic interpretation. *Journal of Economic Geology*, 9(2): 483 – 507. (in Persian with English abstract)
- Pring, A. and Williams, T.B., 1994. A HRTEM study of defects in silver-doped galena. *Mineralogical Magazine*, 58(3): 455–459.
- Qian, Z.H., 1987. Trace elements in galena and sphalerite and their geochemical significance in distinguishing the genetic types of Pb-Zn ore deposits. *Chinese Journal of Geochemistry*, 6(2): 177–190.
- Rajabi, A., Rastad, E. and Cannet, C., 2013. Metallogeny of Permian-Triassic carbonate hosted Zn-Pb and F deposits of Iran: A review for future mineral exploration. *Australian Journal of Earth Sciences*, 60(2): 197–216.
- Rastad, E. and Shariatmadar, A., 2001. Sheshroodbar fluorite deposits, sedimentary and diagenetic fabrics and its depositional environment (Savad Kuh, Mazandaran province). *Scientific Quarterly Journal, GEOSCIENCES*, 10(41–42): 20–38. (in Persian with English abstract)
- Renock, D. and Becker, U., 2011. A first principles study of coupled substitution in galena. *Ore Geology Reviews*, 42(1): 71–83.
- Saeidi, A. and Akbarpour, M.R., 1992. Geological Map of Pol-E-Sefid scale 1:100000. Geological Survey of Iran.
- Sefidian, S., 2014. Geology and mineralogy of Era fluorite mine, southeast of Kiasar, Mazandaran province. M.Sc. Thesis, Golestan University, Gorgan, Iran, 72 pp. (in Persian with English abstract)
- Shariatmadar, A., 1999. Geology and genesis of Sheshroodbar fluorite deposit. M.Sc. Thesis, Tarbiat Modares University, Tehran, Iran, 230 pp. (in Persian with English abstract)
- Sharp, T.G. and Buseck, P.R., 1993. The distribution of Ag and Sb in galena: Inclusions versus solid solution. *American Mineralogist*, 78(1): 85–90.
- Siirola, J. and Schmid, R., 2007. List of Mineral Abbreviations; Recommendations by the IUGS Subcommission on the Systematics of Metamorphic Rocks. Available at: www.bgs.ac.uk/scmr/home.html
- Song, X., 1984. Minor elements and ore genesis of the Fankou lead-zinc deposit, China. *Mineralium Deposita*, 19(1): 95–104.
- Song, X. and Tan, H., 1996. Geochemical characteristics of the Fankou Pb-Zn deposits, Northern Guangdong, South China. In: D.F. Sangster (Editor), *Carbonate-hosted Lead-Zinc deposits*. Special Publication No. 4, Society of Economic Geology, USA, pp. 350–355.
- Tauson, V.L., Parkhomenko, I.Y., Babkin, D.N., Men'shikov, V.I. and Lustenberg, E.E., 2005. Cadmium and mercury uptake by galena crystals under hydrothermal growth: A spectroscopic and element thermo-release atomic absorption study. *European Journal of Mineralogy*, 17(4): 599–610.
- Vahabzadeh, G., Khakzad, A., Rasa, I. and Mosavi, M.R., 2009. Study on S isotopes in galena and barite of Savad Kuh fluorite deposits. *Journal of Science (Islamic Azad University)*, 69(18): 99–108. (in Persian with English abstract)
- Vahabzadeh, G., Khakzad, A., Rasa, I. and Mosavi, M.R., 2014. Fluorite REEs geochemistry in fluorite deposits of central Alborz. *New Findings in Applied Geology*, 16(1): 58–70. (in Persian with English abstract)
- Vahdati Daneshmand, F., 2003. Geological Map of Pol-E-Sefid scale 1:100000. Geological Survey of Iran.
- Vahdati Daneshmand, F. and Saeidi, A., 1991. Geological Map of Sari scale 1:250000. Geological Survey of Iran.
- Wilkinson, J.J. and Eyre, S.L., 2005. Ore-forming processes in Irish-type carbonate-hosted Zn-Pb deposits: evidence from mineralogy, chemistry, and isotopic composition of sulfides at the Lisheen Mine. *Economic Geology*, 100(1): 63–86.
- Ye, L., Cook, N.J., Ciobanu, C.L., Liu, Y.P., Zhang, Q., Liu, T.G., Gao, W., Yang, Y.L. and Danyushevskiy, L., 2011. Trace and minor elements in sphalerite from base metal deposits in South China: a LA-ICP-MS study. *Ore Geology Reviews*, 39(2): 188–217.

- Zabihitabar, Sh. and Shafiei, B., 2014. Mineralogy and mode occurrence of sulfides, sulfates and carbonates at fluorite mines in East of Mazandaran Province. *Quarterly Iranian Journal of Geology*, 33(1): 62–78. (in Persian with English abstract)
- Zabihitabar, Sh., Shafiei, B. and Mirnejad, H., 2015. Sulfur source tracing of sulfide and

sulfate minerals in fluorite deposits of Elika Formation (East of Mazandaran Province): Implications of sulfur isotope. *Quarterly Iranian Journal of Geology*, 35 (3): 75–92. (in Persian with English abstract)



Trace elements geochemistry of galena in fluorite deposits from central Alborz, Mazandaran Province

Mahtab Hamzeh, Behnam Shafiei Bafti* and Hadi Omrani

Department of Geology, Faculty of Sciences, Golestan University, Gorgan, Iran

Submitted: Dec. 10, 2018

Accepted: May 12, 2019

Keywords: Trace elements, Galena, Fluorite, Mazandaran

Introduction

Trace elements including As, Sb, Bi, Ga, Ge, In, Hg, Cd, Tl, Se and REEs have special applications in various industries due to their physical and chemical properties. Ore deposits of these metals have not occurred in the Earth's crust, and these elements are mainly hosted in sulfide minerals of Cu, Pb and Zn (Hall and Heyl, 1968; Song and Tan, 1996; Ye et al., 2011; George et al., 2015). Elika Formation (middle Triassic) in central Alborz is host of several carbonate rock-hosted fluorite deposits such as Kamarpasht, Pachimiana, Shashroodbar and Era (Alirezaee, 1989; Rastad and Shariatmadar, 2001; Rajabi et al., 2013; Vahabzadeh et al., 2014; Zabihitabar and Shafiei, 2014; Mehraban et al. 2016; Nabiloo et al. 2017). Despite previous valuable studies in these deposits, the value of the presence of trace elements in the galena of these deposits has not yet been documented.

Materials and methods

For the current research study, sampling from 3 fluorite mines including Kamarpasht, Pachimiana and Era was carried out to collect 26 pure galena grains separated from various fluorite ore-types. The samples were analyzed for trace elements at the ICP-MS at Act Labs Ltd., Canada.

Results

The highest concentrations of trace elements in

galena samples were obtained for Sb (with mean 692 ppm and maximum concentration of 2531 ppm) and Ag (with a mean of 24.28 ppm and a maximum concentration of 2531 ppm). The lowest values were obtained for Bi (mean 0.04 ppm), Se (average 1.89 ppm) and Ga (mean 0.9 ppm) and Tl (mean 0.3 ppm). Hg (0.06 – 10 ppm), Cd (1.14 – 23 ppm) and As (0.1 – 36 ppm) exhibited a wide range of concentrations.

The comparison of the trace elements concentration in the studied galena samples with those of the MVT, SEDEX, Irish-type deposits shows that the concentrations of Sb, Tl, Hg, Se and Cu in the studied galena are close to the values for MVT deposits, whereas the studied galena samples are much poorer in Ag, Bi, Cd and As than those of the MVT deposits. There is meaningful relationship between concentrations of some trace elements such as Tl–Ag ($r=0.82$), Tl–Cu ($r=0.71$), Ag–Sb ($r=0.66$), Cu–Ag, Ag–As, Cu–As, Sb–Cu, Hg–Zn, As–Sb, Hg–Cd, Zn–Cu ($0.3 < r < 0.6$).

Discussion

Our data revealed that galena samples are relatively rich in Sb (up to 2581 ppm with an average ~ 620 ppm) and Ag (up to 70 ppm with an average ~ 30 ppm), whereas they are poor in other trace elements. Inter-element relationships in galena show strong correlation between Sb–Ag ($r \geq 0.65$) and moderate correlation between Ag–As, Ag–Cu as well as Hg–Zn ($0.4 < r < 0.6$).

*Corresponding author Email: behnam.shafiei@gmail.com

Based on our data, high concentration of Sb and Ag in galena could be related to the presence of special minerals (e.g., tetrahedrite, stephanite, diaphorite, twinnite) as inclusion in the host galena, whereas the occurrence of not very high concentrations of Cd and Hg and meaningful relationship with Zn concentrations in galena could be due to the presence of inclusions of sphalerite (ZnS) and polhemusite (ZnHgS) in the galena. Due to the large presence of galena (several tens of thousands) in the studied fluorite mines, and the relatively high concentration of Sb and Ag in the galena samples of these deposits, an assessment of the economic recovery on a laboratory scale of these elements is suggested.

References

- Alirezaee, S., 1989. Contribution to stratigraphy and mode of generation of F-Pb-Ba deposits in Triassic of eastern Alborz. M.Sc. Thesis, Tehran University, Tehran, Iran, 87 pp. (in Persian with English abstract)
- George, L., Cook, N.J., Ciobanu, K.L. and Wade, B.P., 2015. Trace and minor elements in galena: A reconnaissance LA-ICP-MS study. *American Mineralogist*, 100(3): 548–569.
- Hall, W.E. and Heyl, A., 1968. Distribution of minor elements in ore and host rock, Illinois-Kentucky fluorite district and upper Mississippi Valley Zinc-Lead district. *Economic Geology*, 63(4): 655–670.
- Mehraban, Z., Shafiei, B. and Shamanian, G.H., 2016. REEs geochemistry in fluorite deposits of Elika Formation (East of Mazandaran Province). *Journal of Economic Geology*, 8(1): 201–221. (in Persian with English abstract)
- Nabiloo, F., Shafiei, B. and Amini, A. 2017. Diagenetic and post-diagenetic fabrics in Kamarposht fluorite mine (east of Mazandaran province): Explaining and genetic interpretation. *Journal of Economic Geology*, 9(2): 483 – 507. (in Persian with English abstract)
- Rajabi, A., Rastad, E. and Cannet, C., 2013. Metallogeny of Permian-Triassic carbonate hosted Zn-Pb and F deposits of Iran: A review for future mineral exploration. *Australian Journal of Earth Sciences*, 60(2): 197–216.
- Rastad, E. and Shariatmadar, A., 2001. Sheshroodbar fluorite deposits, sedimentary and diagenetic fabrics and its depositional environment (Savad Kuh, Mazandaran province). *Scientific Quarterly Journal, GEOSCIENCES*, 10(41–42): 20–38. (in Persian with English abstract)
- Song, X. and Tan, H., 1996. Geochemical characteristics of the Fankou Pb-Zn deposits, Northern Guangdong, South China. In: D.F. Sangster (Editor), Carbonate-hosted Lead-Zinc deposits. Special Publication No. 4, Society of Economic Geology, USA, pp. 350–355.
- Vahabzadeh, G., Khakzad, A., Rasa, I. and Mosavi, M.R., 2014. Fluorite REEs geochemistry in fluorite deposits of central Alborz. *New Findings in Applied Geology*, 16(1): 58–70. (in Persian with English abstract)
- Ye, L., Cook, N.J., Ciobanu, C.L., Liu, Y.P., Zhang, Q., Liu, T.G., Gao, W., Yang, Y.L. and Danyushevskiy, L., 2011. Trace and minor elements in sphalerite from base metal deposits in South China: a LA-ICP-MS study. *Ore Geology Reviews*, 39(2): 188–217.
- Zabihitabar, Sh. and Shafiei, B., 2014. Mineralogy and mode occurrence of sulfides, sulfates and carbonates at fluorite mines in East of Mazandaran Province. *Quarterly Iranian Journal of Geology*, 33(1): 62–78. (in Persian with English abstract)